

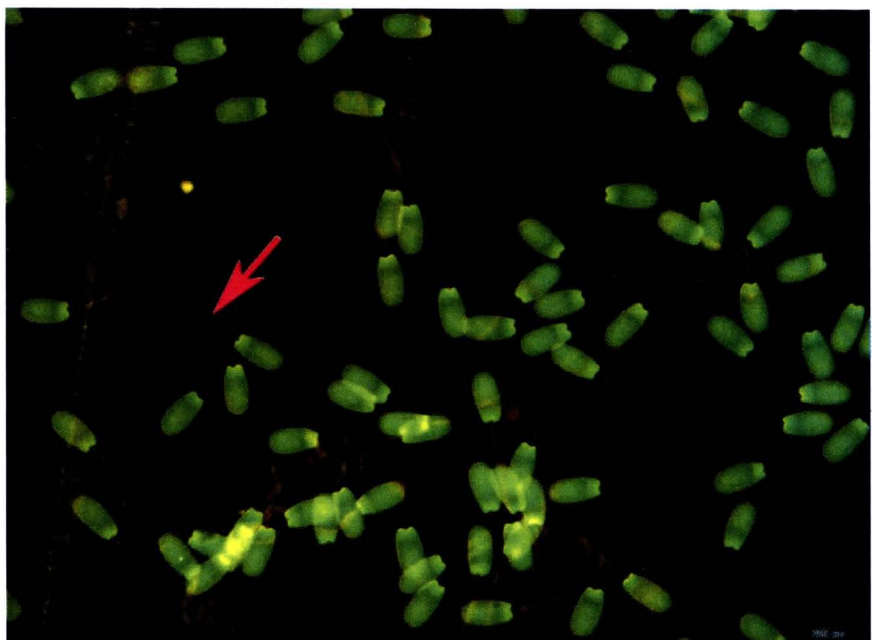
บทที่ 4

ผลการทดลอง

1. ผลการแสดงออกของตัวรับชอร์โนนเօสโตรเจน และโปรเจสເຕອໂຣນ

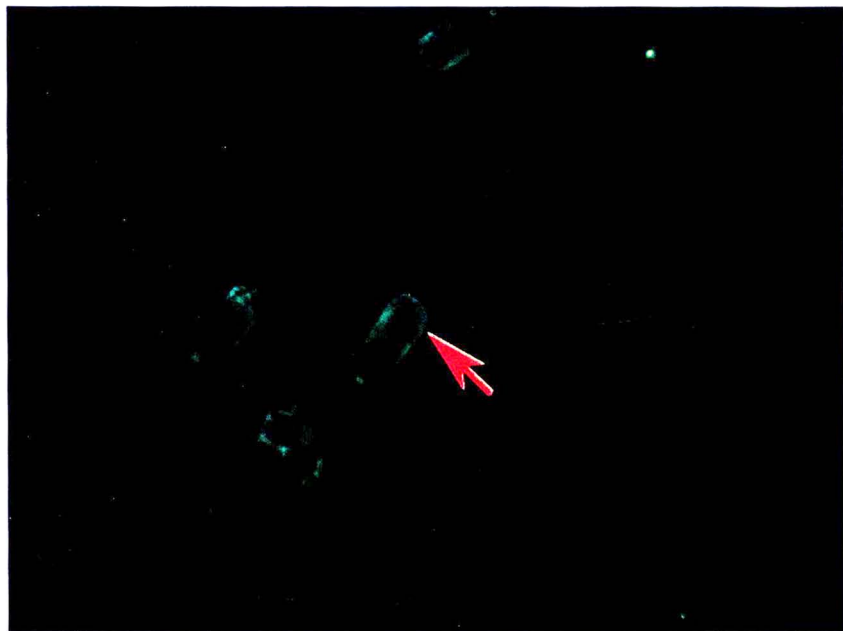
ພບກາຮັດວະກຳທີ່
ພບກາຮັດວະກຳທີ່
ພບກາຮັດວະກຳທີ່

- ຕົວຮັບຈອຣ້ໂມນເອສໂຕຣເຈນ ຜົນດອລັບຟ້າ ມີການຕິດສື່ບຸງອອເຣສເໜນທີ່ສື່ແດງທີ່ບົງວິເວມ mid-piece ແລະ ລາຍຂອງຕົວອສຸຈີ (ຮູບທີ່3.1)



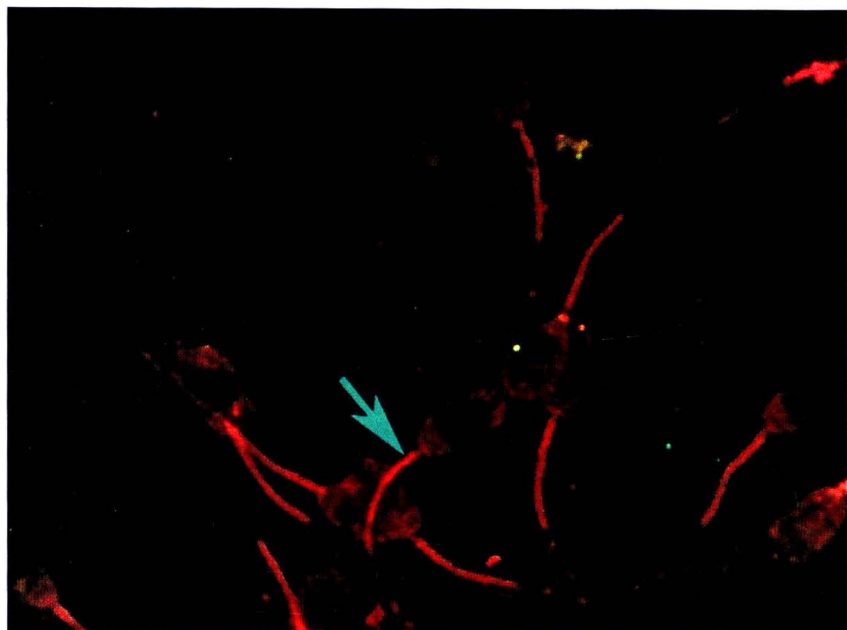
ຮູບທີ່3.1 ການແສດງອອກຂອງຕົວຮັບຈອຣ້ໂມນເອສໂຕຣເຈນ ຜົນດອລັບຟ້າ ທີ່ບົງວິເວມ mid-piece ແລະ ລາຍຂອງຕົວອສຸຈີສຸກຣ (ລູກຄຣີ້) (ກຳລັງຂຍາຍ 100ເທົ່າ)

- ตัวรับชอร์มอนเอสโตรเจน ชนิดเบต้า มีการติดสีฟลูออเรสเซนต์สีเขียวที่บริเวณ acrosomeของตัวอสุจิ(รูปที่3.2)



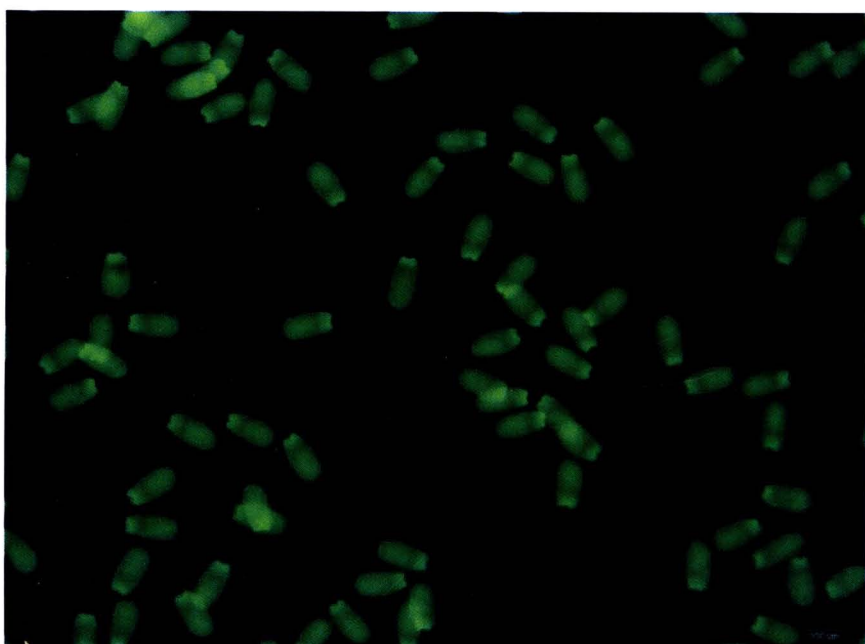
รูปที่ 3.2 การแสดงออกของตัวรับชอร์มอนเอสโตรเจนชนิดเบต้า ที่บริเวณ acrosomeของตัวอสุจิสุกร (ลูกศรชี้) (กำลังขยาย 100เท่า)

- ตัวรับฮอร์โมนโปรเจสเทอโรน มีการติดสีฟลูออเรสเซนต์สีแดงที่บริเวณ mid-piece ของตัวอสุจิ (รูปที่ 3.3)



รูปที่ 3.3 การแสดงออกของตัวรับฮอร์โมนโปรเจสเทอโรน ที่บริเวณ mid-piece ของตัวอสุจิสุกร (ลูกศรชี้) (กำลังขยาย 100 เท่า)

- กลุ่มควบคุมลบ ไม่พับการแสดงออกของตัวรับชอร์โมน ทำการ counterstained ด้วยสี DAPI(รูปที่ 3.4)



รูปที่ 3.4 กลุ่มควบคุมลบ ย้อมด้วยสี DAPI (กำลังขยาย 100 เท่า)

2. ผลการตรวจน้ำเชื้อสดและหลังจากใส่สารละลายน้ำเชื้อเพื่อการขนส่ง

น้ำเชื้อสดและน้ำเชื้อหลังจากใส่สารละลายน้ำเชื้อเพื่อการขนส่ง (ModenaTM) ที่นำมาใช้ในการทดลองนี้พบว่าไม่มีความแตกต่างกันในด้านของการเคลื่อนที่ไปข้างหน้า ความสมบูรณ์ของเยื่อหุ้มอสุจิ ความสมบูรณ์ของ acrosome ตัวอสุจิที่ยังไม่เกิด capacitation และการแสดงออกของตัวรับชอร์โมน เอสโตรเจนและโปรเจสเตอโรน (ตารางที่ 3.1)

ตารางที่ 3.1

พารามิเตอร์ของน้ำเชื้อสคและหลังจากทำละลายด้วยสารละลายน้ำเชื้อ ModenaTM (mean \pm SD)

Semen parameters	Fresh semen (n=13)	Modena (n=13)	P-value
Motility (%)	77.7 \pm 5.3	76.0 \pm 6.5	NS
Intact plasma membrane (%)	78.5 \pm 9.3	79.3 \pm 11.9	NS
Intact acrosome in live spermatozoa (%)	79.2 \pm 8.3	78.4 \pm 7.7	NS
Capacitation F-pattern (%)	79.7 \pm 4.4	73.3 \pm 12.5	NS
ER α	62.6 \pm 8.2	64.2 \pm 7.7	NS
ER β	74.6 \pm 12.1	67.0 \pm 10.2	NS
PR	65.5 \pm 3.3	67.5 \pm 3.7	NS

NS = มีความแตกต่างกันอย่างไม่มีนัยสำคัญทางสถิติ ($P > 0.05$)

3. ผลการตรวจน้ำเชื้อในระหว่างกระบวนการแช่แข็งน้ำเชื้อและภายในหลังการทำละลาย

3.1 การเคลื่อนที่ไปข้างหน้าของตัวอสุจิ (Sperm motility)

ร้อยละการเคลื่อนที่ไปข้างหน้าของตัวอสุจิในกลุ่มภายในหลังจากการเติม extender II และ III สูงกว่า กลุ่มภายในหลังการทำละลาย แต่ไม่พบความแตกต่างกันอย่างมีนัยสำคัญทางสถิติในระหว่างความเข้มข้นของ L-cysteine ที่แตกต่างกันในแต่ละช่วงเวลา และกลุ่ม 10 mMol L-cysteine มีแนวโน้มการเคลื่อนที่ไปข้างหน้าของตัวอสุจิสูงกว่าในกลุ่มทดลองอื่น (ตารางที่ 3.2)

ตารางที่ 3.2

ร้อยละของการเคลื่อนที่ไปข้างหน้าของตัวอสูจิระหว่างกระบวนการแช่แข็งและหลังจากทำละลาย (mean \pm SD)

Groups	TE2	TE3	Post thaw
1 (n=12)	70.6 \pm 10.8 ^{A, a}	58.8 \pm 11.3 ^{A, a}	30.0 \pm 15.7 ^{B, a}
2 (n=12)	68.8 \pm 9.9 ^{A, a}	61.7 \pm 16.2 ^{A, a}	28.1 \pm 13.9 ^{B, a}
3 (n=12)	76.3 \pm 5.2 ^{A, a}	66.7 \pm 16.6 ^{A, a}	36.9 \pm 16.1 ^{B, a}
4 (n=12)	72.5 \pm 7.1 ^{A, a}	55.6 \pm 18.1 ^{A, a}	23.5 \pm 12.5 ^{B, a}

ค่า Mean (\pm SD) ที่อยู่ในคอลัมน์เดียวกันที่ตามด้วยตัวอักษรพิมพ์เล็ก และที่อยู่ในแถวเดียวกันที่ตามด้วยตัวอักษรพิมพ์ใหญ่ที่แตกต่างกัน แสดงความแตกต่างกันอย่างมีนัยสำคัญทางสถิติ ($P \leq 0.05$)

Group 1 = กลุ่มควบคุม (ไม่เสริมสาร L-cysteine)

Group 2 = เสริม 5 mMol/100 ml L-cysteine

Group 3 = เสริม 10 mMol/100 ml L-cysteine

Group 4 = เสริม 15 mMol/100 ml L-cysteine

TE2 = ตัวอย่างนำเข้าที่เก็บหลังจากเติมสารละลายน้ำเข้า II เป็นเวลา 1 ชั่วโมง 30 นาที

TE3 = ตัวอย่างนำเข้าที่เก็บหลังจากเติมสารละลายน้ำเข้า III เป็นเวลา 30 นาที

3.2 ความสมบูรณ์ของเยื่อหุ้มอสูจิ (Intact plasma membrane)

ร้อยละของตัวอสูจิที่มีเยื่อหุ้มสมบูรณ์ ในกลุ่มภายในหลังจากเติม extender II และ III สูงกว่า กลุ่มภายในหลังการทำละลาย แต่ไม่พบความแตกต่างกันอย่างมีนัยสำคัญทางสถิติในระหว่างความเข้มข้นของ L-cysteine ที่แตกต่างกันในแต่ละช่วงเวลา และภายในหลังการทำละลายพบว่า ความสมบูรณ์ของเยื่อหุ้มอสูจิในกลุ่ม 10 mMol L-cysteine มีแนวโน้มที่จะสูงกว่าในกลุ่มทดลองอื่น (ตารางที่ 3.3)

ตารางที่ 3.3

ร้อยละของความสมบูรณ์ของเยื่อหุ้มตัวอสุจิระหว่างกระบวนการแช่แข็งและหลังจากทำละลาย (mean \pm SD)

Groups	TE2	TE3	Post thaw
1 (n=12)	75.1 \pm 9.2 ^{A, a}	76.7 \pm 6.6 ^{A, a}	34.0 \pm 13.0 ^{B, a}
2 (n=12)	73.5 \pm 9.2 ^{A, a}	75.9 \pm 9.0 ^{A, a}	31.0 \pm 18.2 ^{B, a}
3 (n=12)	70.4 \pm 22.3 ^{A, a}	77.9 \pm 5.6 ^{A, a}	45.1 \pm 21.5 ^{B, a}
4 (n=12)	73.2 \pm 6.6 ^{A, a}	76.4 \pm 6.0 ^{A, a}	29.0 \pm 14.9 ^{B, a}

ค่า Mean (\pm SD) ที่อยู่ในคอลัมน์เดียวกันที่ตามด้วยตัวอักษรพิมพ์เล็ก และที่อยู่ในแถวเดียวกันที่ตามด้วยตัวอักษรพิมพ์ใหญ่ที่แตกต่างกัน แสดงความแตกต่างกันอย่างมีนัยสำคัญทางสถิติ ($P \leq 0.05$)

Group 1 = กลุ่มควบคุม (ไม่เสริมสาร L-cysteine)

Group 2 = เสริม 5 mMol/100 ml L-cysteine

Group 3 = เสริม 10 mMol/100 ml L-cysteine

Group 4 = เสริม 15 mMol/100 ml L-cysteine

TE2 = ตัวอ่อนน้ำเชื้อที่เก็บหลังจากเติมสารละลายน้ำเชื้อ II เป็นเวลา 1 ชั่วโมง 30 นาที

TE3 = ตัวอ่อนน้ำเชื้อที่เก็บหลังจากเติมสารละลายน้ำเชื้อ III เป็นเวลา 30 นาที

3.3 ความสมบูรณ์ของ acrosome (Acrosome integrity)

ร้อยละความสมบูรณ์ของ acrosome ในกลุ่มภายหลังจากเติม extender II และ III สูงกว่ากลุ่มภายหลังการทำละลาย แต่ไม่พบความแตกต่างกันอย่างมีนัยสำคัญทางสถิติในระหว่างความเข้มข้นของ L-cysteine ภายหลังจากเติม extender II และภายหลังการทำละลายพบว่าความสมบูรณ์ของ acrosome ในกลุ่ม 10 mMol L-cysteine สูงกว่ากลุ่มควบคุมและกลุ่ม 15 mMol L-cysteine อย่างมีนัยสำคัญทางสถิติ (ตารางที่ 3.4)

ตารางที่ 3.4

ร้อยละของความสมบูรณ์ของ acrosome ระหว่างกระบวนการแช่แข็งและหลังจากทำละลาย (mean \pm SD)

Groups	TE2	TE3	Post thaw
1 (n=12)	70.5 \pm 9.5 ^{A, a}	66.8 \pm 8.6 ^{A, a}	44.1 \pm 7.7 ^{B, a}
2 (n=12)	69.3 \pm 9.1 ^{A, a}	65.1 \pm 10.0 ^{A, a}	47.7 \pm 8.5 ^{B, ab}
3 (n=12)	69.7 \pm 11.0 ^{A, a}	69.8 \pm 10.6 ^{A, a}	54.0 \pm 10.8 ^{B, b}
4 (n=12)	67.3 \pm 10.7 ^{A, a}	63.3 \pm 11.0 ^{A, a}	41.8 \pm 9.0 ^{B, a}

ค่า Mean (\pm SD) ที่อยู่ในคอลัมน์เดียวกันที่ตามด้วยตัวอักษรพิมพ์เล็ก และที่อยู่ในแถวเดียวกันที่ตามด้วยตัวอักษรพิมพ์ใหญ่ที่แตกต่างกัน แสดงความแตกต่างกันอย่างมีนัยสำคัญทางสถิติ ($P \leq 0.05$)

Group 1 = กลุ่มควบคุม (ไม่เสริมสาร L-cysteine)

Group 2 = เสริม 5 mMol/100 ml L-cysteine

Group 3 = เสริม 10 mMol/100 ml L-cysteine

Group 4 = เสริม 15 mMol/100 ml L-cysteine

TE2 = ตัวอย่างน้ำเชื้อที่เก็บหลังจากเติมสารละลายน้ำเชื้อ II เป็นเวลา 1 ชั่วโมง 30 นาที

TE3 = ตัวอย่างน้ำเชื้อที่เก็บหลังจากเติมสารละลายน้ำเชื้อ III เป็นเวลา 30 นาที

3.4 ตัวอสูจิที่ยังไม่เกิด capacitation (Non-capacitated spermatozoa)

ร้อยละของตัวอสูจิที่ยังไม่เกิด capacitation ในกลุ่มภายหลังจากเติม extender II และ III สูงกว่า กลุ่มภายหลังการทำละลาย แต่ไม่พบความแตกต่างกันอย่างมีนัยสำคัญทางสถิติในระหว่างความเข้มข้นของ L-cysteine ที่แตกต่างกันในแต่ละช่วงเวลา (ตารางที่ 3.5)

ตารางที่ 3.5

ร้อยละของตัวอัตราจีบีซีไม่เกิดกระบวนการ capacitation ระหว่างกระบวนการแช่แข็งและหลังจากทำลาย (mean \pm SD)

Groups	TE2	TE3	Post thaw
1 (n=12)	70.5 \pm 7.8 ^{A, a}	64.3 \pm 13.3 ^{A, a}	22.7 \pm 12.5 ^{B, a}
2 (n=12)	69.7 \pm 11.1 ^{A, a}	61.2 \pm 13.2 ^{A, a}	27.5 \pm 7.4 ^{B, a}
3 (n=12)	72.3 \pm 9.1 ^{A, a}	67.3 \pm 14.4 ^{A, a}	30.5 \pm 13.3 ^{B, a}
4 (n=12)	68.2 \pm 7.5 ^{A, a}	61.8 \pm 12.7 ^{A, a}	23.4 \pm 7.9 ^{B, a}

ค่า Mean (\pm SD) ที่อยู่ในคอลัมน์เดียวกันที่ตามด้วยตัวอักษรพิมพ์เล็ก และที่อยู่ในแถวเดียวกันที่ตามด้วยตัวอักษรพิมพ์ใหญ่ที่แตกต่างกัน แสดงความแตกต่างกันอย่างมีนัยสำคัญทางสถิติ ($P \leq 0.05$)

Group 1 = กลุ่มควบคุม (ไม่เสริมสาร L-cysteine)

Group 2 = เสริม 5 mMol/100 ml L-cysteine

Group 3 = เสริม 10 mMol/100 ml L-cysteine

Group 4 = เสริม 15 mMol/100 ml L-cysteine

TE2 = ตัวอย่างนำเข้าที่เก็บหลังจากเติมสารละลายน้ำเข้า II เป็นเวลา 1 ชั่วโมง 30 นาที

TE3 = ตัวอย่างนำเข้าที่เก็บหลังจากเติมสารละลายน้ำเข้า III เป็นเวลา 30 นาที

3.5 การแสดงออกของตัวรับฮอร์โมนเอสโตรเจน ชนิดอัลฟ่า (ER α expression)

ร้อยละของการแสดงออกของตัวรับฮอร์โมนเอสโตรเจน ชนิดอัลฟ่า ในกลุ่มภายหลังจากเติม extender II และ III สูงกว่า กลุ่มภายหลังการทำละลาย แต่ไม่พนความแตกต่างกันอย่างมีนัยสำคัญทางสถิติในระหว่างความเข้มข้นของ L-cysteine ที่แตกต่างกันในแต่ละช่วงเวลา (ตารางที่ 3.6)

ตารางที่ 3.6

ร้อยละของตัวอัตราที่มีการแสดงออกของตัวรับชอร์โมนเอสโตรเจน ชนิดอัลฟ่า ระหว่างกระบวนการแช่แข็งและทำลาย($mean \pm SD$)

Groups	TE2	TE3	Post thaw
1 (n=12)	$57.8 \pm 10.2^{A, a}$	$55.8 \pm 9.2^{A, a}$	$47.4 \pm 3.3^{B, a}$
2 (n=12)	$57.5 \pm 6.9^{A, a}$	$58.8 \pm 7.6^{A, a}$	$47.8 \pm 2.6^{B, a}$
3 (n=12)	$61.1 \pm 7.4^{A, a}$	$58.2 \pm 8.5^{A, a}$	$49.0 \pm 4.0^{B, a}$
4 (n=12)	$55.8 \pm 8.1^{A, a}$	$55.6 \pm 6.3^{A, a}$	$44.3 \pm 2.8^{B, a}$

ค่า Mean ($\pm SD$) ที่อยู่ในคอลัมน์เดียวกันที่ตามด้วยตัวอักษรพิมพ์เล็ก และที่อยู่ในแต่ละเดียวกันที่ตามด้วยตัวอักษรพิมพ์ใหญ่ที่แตกต่างกัน แสดงความแตกต่างกันอย่างมีนัยสำคัญทางสถิติ ($P \leq 0.05$)

Group 1 = กลุ่มควบคุม (ไม่เสริมสาร L-cysteine)

Group 2 = เสริม 5 mMol/100 ml L-cysteine

Group 3 = เสริม 10 mMol/100 ml L-cysteine

Group 4 = เสริม 15 mMol/100 ml L-cysteine

TE2 = ตัวอย่างน้ำเชื้อที่เก็บหลังจากเติมสารละลายน้ำเชื้อ II เป็นเวลา 1 ชั่วโมง 30 นาที

TE3 = ตัวอย่างน้ำเชื้อที่เก็บหลังจากเติมสารละลายน้ำเชื้อ III เป็นเวลา 30 นาที

3.6 การแสดงออกของตัวรับชอร์โมนเอสโตรเจน ชนิดเบต้า ($ER\beta$ expression)

ร้อยละของการแสดงออกของตัวรับชอร์โมนเอสโตรเจน ชนิดเบต้า ในกลุ่มภายในห้องจากเติม extender II และ III สูงกว่า กลุ่มภายในห้องการทำลาย แต่ไม่พนความแตกต่างกันอย่างมีนัยสำคัญทางสถิติในระหว่างความเข้มข้นของ L-cysteine ที่แตกต่างกันในแต่ละช่วงเวลา (ตารางที่ 3.7)

ตารางที่ 3.7

ร้อยละของตัวอัตราจิที่มีการแสดงออกของตัวรับชอร์โมนเอสโตรเจน ชนิดเบนท้า ระหว่างกระบวนการแช่แข็งและทำละลาย($mean \pm SD$)

Groups	TE2	TE3	Post thaw
1 (n=12)	$61.7 \pm 8.2^{A,a}$	$60.7 \pm 8.7^{A,a}$	$55.5 \pm 6.8^{A,a}$
2 (n=12)	$66.5 \pm 7.3^{A,a}$	$60.9 \pm 8.6^{AB,a}$	$54.7 \pm 6.0^{B,a}$
3 (n=12)	$64.8 \pm 9.0^{A,a}$	$61.3 \pm 7.4^{A,a}$	$57.7 \pm 9.1^{A,a}$
4 (n=12)	$64.2 \pm 10.2^{A,a}$	$60.8 \pm 7.1^{A,a}$	$50.2 \pm 6.1^{B,a}$

ค่า Mean ($\pm SD$) ที่อยู่ในคอลัมน์เดียวกันที่ตามด้วยตัวอักษรพิมพ์เล็ก และที่อยู่ในแตกต่างกันที่ตามด้วยตัวอักษรพิมพ์ใหญ่ที่แตกต่างกัน แสดงความแตกต่างกันอย่างมีนัยสำคัญทางสถิติ ($P \leq 0.05$)

Group 1 = กลุ่มควบคุม (ไม่เสริมสาร L-cysteine)

Group 2 = เสริม 5 mMol/100 ml L-cysteine

Group 3 = เสริม 10 mMol/100 ml L-cysteine

Group 4 = เสริม 15 mMol/100 ml L-cysteine

TE2 = ตัวอย่างน้ำเชื้อที่เก็บหลังจากเติมสารละลายน้ำเชื้อ II เป็นเวลา 1 ชั่วโมง 30 นาที

TE3 = ตัวอย่างน้ำเชื้อที่เก็บหลังจากเติมสารละลายน้ำเชื้อ III เป็นเวลา 30 นาที

3.7 การแสดงออกของตัวรับชอร์โมนโปรเจสเตอโรน (PR expression)

ร้อยละของการแสดงออกของตัวรับชอร์โมนโปรเจสเตอโรน ในกลุ่มภายในหลังจากเติม extender II และ III สูงกว่า กลุ่มภายในหลังการทำละลาย แต่ไม่พ้นความแตกต่างกันอย่างมีนัยสำคัญทางสถิติในระหว่างความเข้มข้นของ L-cysteine ที่แตกต่างกันในแต่ละช่วงเวลา (ตารางที่ 3.8)

ตารางที่ 3.8

ร้อยละของตัวอสุจิที่มีการแสดงออกของตัวรับชอร์โนนโปรเจสเตอโรน ระหว่างกระบวนการแช่แข็ง และทำละลาย($mean \pm SD$)

Groups	TE2	TE3	Post thaw
1 (n=12)	$62.4 \pm 6.6^{A,a}$	$61.4 \pm 7.6^{A,a}$	$50.4 \pm 3.9^{B,a}$
2 (n=12)	$62.6 \pm 6.4^{A,a}$	$60.9 \pm 6.5^{A,a}$	$51.4 \pm 6.5^{B,a}$
3 (n=12)	$63.2 \pm 5.8^{A,a}$	$62.1 \pm 4.9^{A,a}$	$52.8 \pm 5.0^{B,a}$
4 (n=12)	$58.5 \pm 9.2^{A,a}$	$59.5 \pm 5.3^{A,a}$	$49.4 \pm 4.5^{B,a}$

ค่า Mean ($\pm SD$) ที่อยู่ในคอลัมน์เดียวกันที่ตามด้วยตัวอักษรพิมพ์เล็ก และที่อยู่ในแต่ละเดียวกันที่ตามด้วยตัวอักษรพิมพ์ใหญ่ที่แตกต่างกัน แสดงความแตกต่างกันอย่างมีนัยสำคัญทางสถิติ ($P \leq 0.05$)

Group 1 = กลุ่มควบคุม (ไม่เสริมสาร L-cysteine)

Group 2 = เสริม 5 mMol/100 ml L-cysteine

Group 3 = เสริม 10 mMol/100 ml L-cysteine

Group 4 = เสริม 15 mMol/100 ml L-cysteine

TE2 = ตัวอย่างน้ำเชื้อที่เก็บหลังจากเติมสารละลายน้ำเชื้อ II เป็นเวลา 1 ชั่วโมง 30 นาที

TE3 = ตัวอย่างน้ำเชื้อที่เก็บหลังจากเติมสารละลายน้ำเชื้อ III เป็นเวลา 30 นาที



4. ความสัมพันธ์ระหว่างการแสดงออกของตัวรับชอร์โนนเอสโตรเจนและโปรเจสเตอโรน กับคุณภาพน้ำเชื้อ

พบความสัมพันธ์เชิงบวกระหว่างร้อยละการแสดงออกของตัวรับชอร์โนนแต่ละชนิดกับ ร้อยละการเคลื่อนที่ไปข้างหน้าของตัวอสุจิ ความสมบูรณ์ของเยื่อหุ้มอสุจิ ความสมบูรณ์ของ acrosome และตัวอสุจิที่ยังไม่เกิด capacitation (ตารางที่ 3.9) และพบความสัมพันธ์เชิงบวกระหว่างการแสดงออกของตัวรับชอร์โนนเอสโตรเจน ชนิดอัลฟ่า และตัวรับชอร์โนนเอสโตรเจน ชนิดเบต้า ($r=0.41$) และการแสดงออกของตัวรับชอร์โนนเอสโตรเจน ชนิดอัลฟ่า และตัวรับชอร์โนนโปรเจสเตอโรน ($r=0.48$)

นอกจากนี้ยังพบความสัมพันธ์เชิงบวกระหว่าง ร้อยละการเคลื่อนที่ไปข้างหน้าของตัวอสุจิ ความสมบูรณ์ของเยื่อหุ้มอสุจิ ความสมบูรณ์ของ acrosome และตัวอสุจิที่ยังไม่เกิด capacitation ($r = 0.75, 0.75, 0.78$ ตามลำดับ) พบความสัมพันธ์เชิงบวกระหว่างความสมบูรณ์ของเยื่อหุ้มอสุจิ และความ

สมบูรณ์ของ acrosome และตัวอสุจิที่ยังไม่เกิด capacitation ($r = 0.71, 0.81$) รวมไปถึงความสัมพันธ์เชิงบวกระหว่างความสมบูรณ์ของอะโครโซม และตัวอสุจิที่ยังไม่เกิด capacitation ($r = 0.75$)

ตารางที่ 3.9

ค่าสหสัมพันธ์ระหว่างตัวรับชอร์โนนเอส โทรเจน และโปรเจสเดอiron และพารามิเตอร์ของตัวอสุจิ

Sperm parameter	Correlation coefficient			P-value
	ER α	ER β	PR	
Motility	0.62	0.47	0.59	<0.01
Intact plasma membrane	0.49	0.46	0.54	<0.01
Intact acrosome	0.61	0.56	0.53	<0.01
Capacitation	0.57	0.51	0.54	<0.01